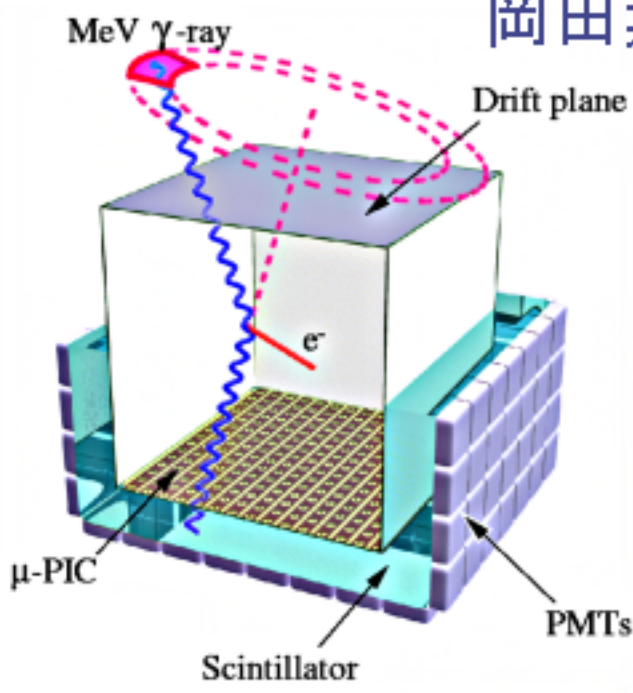




ガス飛跡検出機を用いた ガンマ線コンプトンイメージング検出器の開発

京都大学 高田 淳史

谷森達, 窪秀利, 身内賢太朗, 竹田敦,
永吉勉, 関谷洋之, 折戸玲子, 植野優,
岡田葉子, 西村 広展, 服部香里

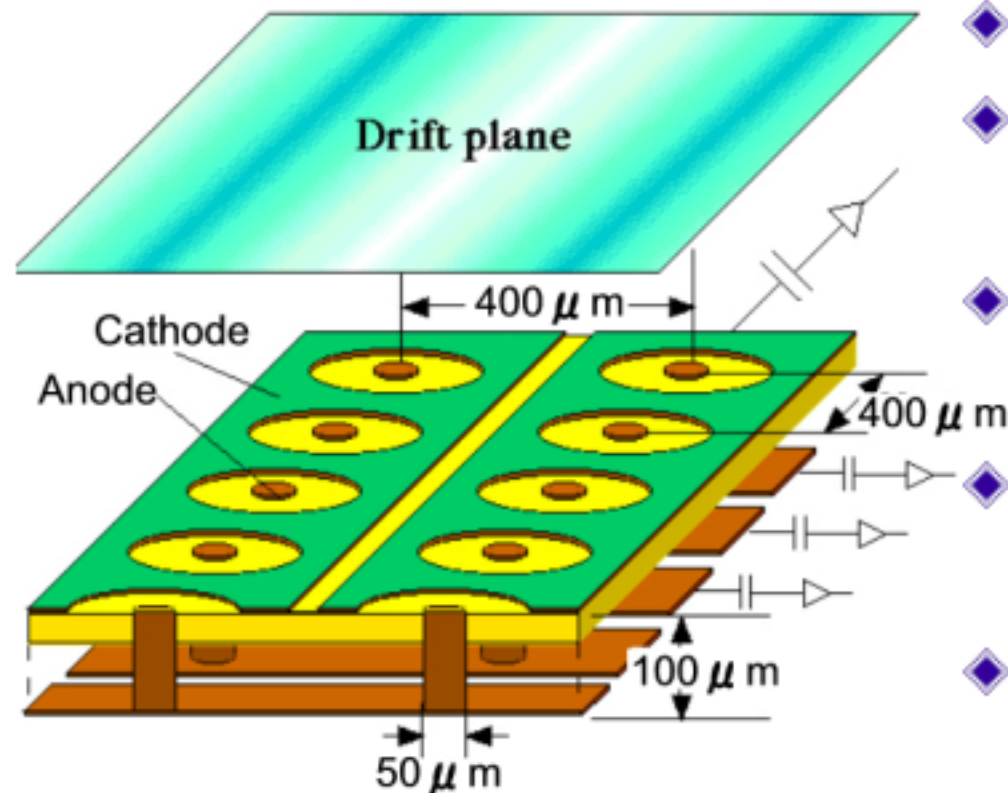
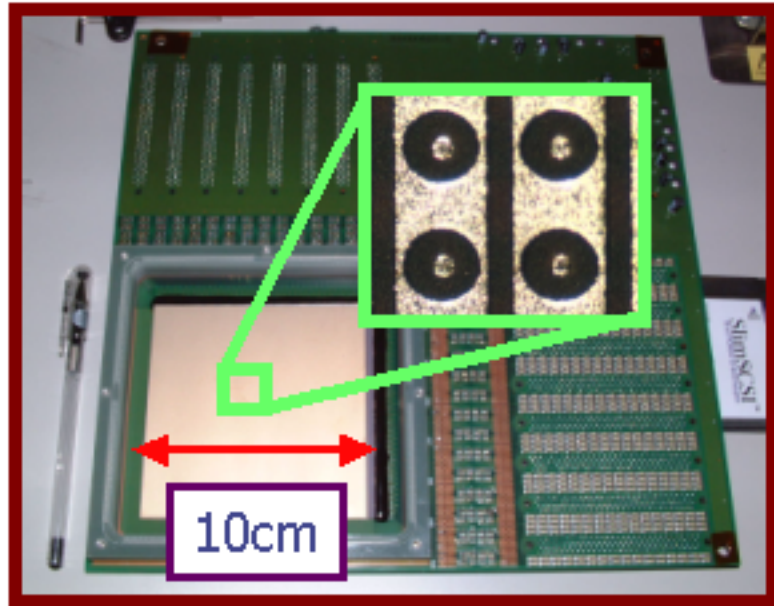


- ガス検出器 μ -PIC
& 飛跡検出器 micro-TPC
- プロトタイプ性能評価
- まとめ



The character and structure of μ -PIC

- ◆ 2次元読み出し (~65000pixels)
- ◆ 大面積 (10cm×10cm)
- ◆ プリント基板の技術により製作



- ◆ max gas gain ~16000
- ◆ エネルギー分解能
30% @ 5.9keV (100cm²)
- ◆ 1000時間以上の安定動作
@ gas gain ~6000
- ◆ 一様なgas gain
4.5% @ 100cm²
- ◆ 高い位置分解能
(~120μm)

micro-TPC

(Time Projection Chamber)

✓ 10cm×10cm μ -PIC

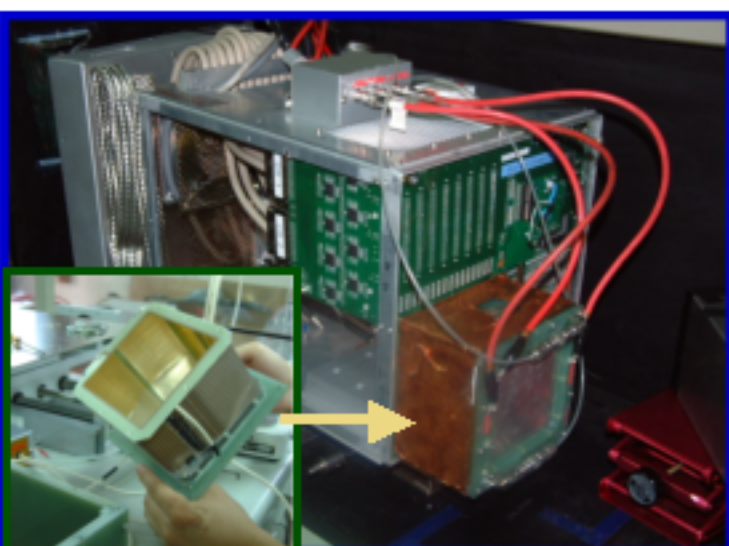
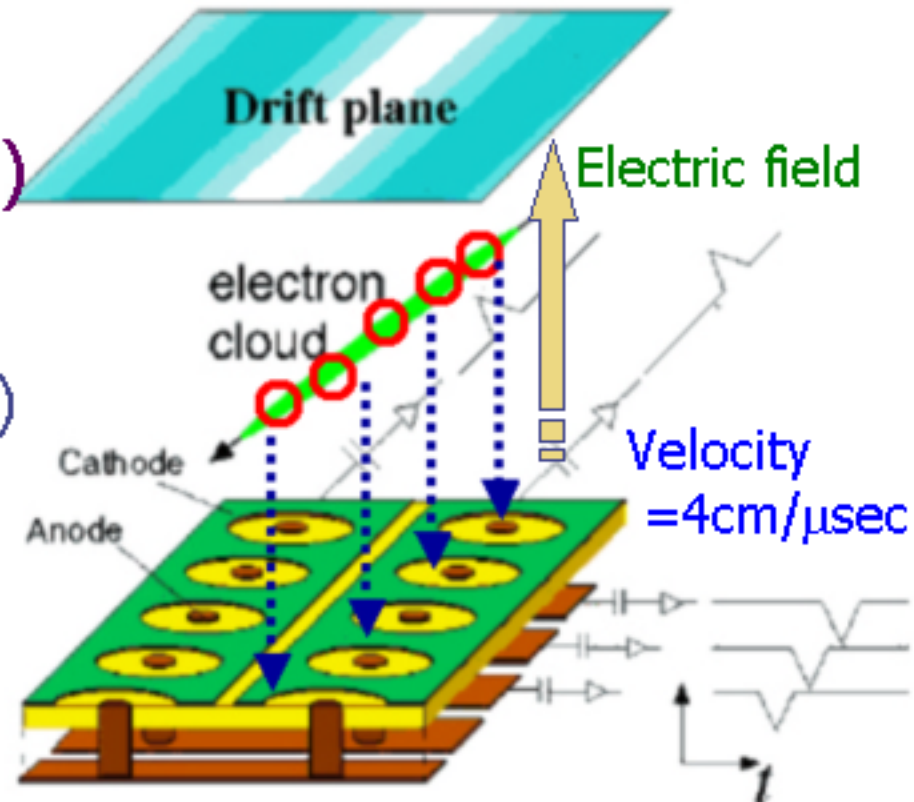
⇒ 2次元情報

✓ 8cm drift cage ($E=0.4\text{kV/cm}$)

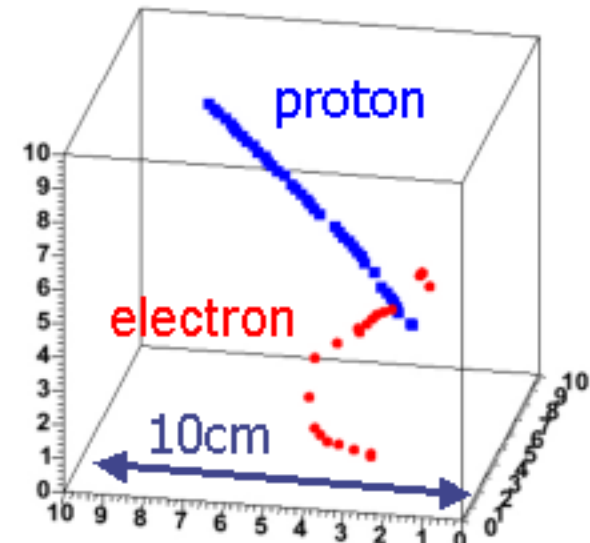
⇒ drift time

micro-TPC

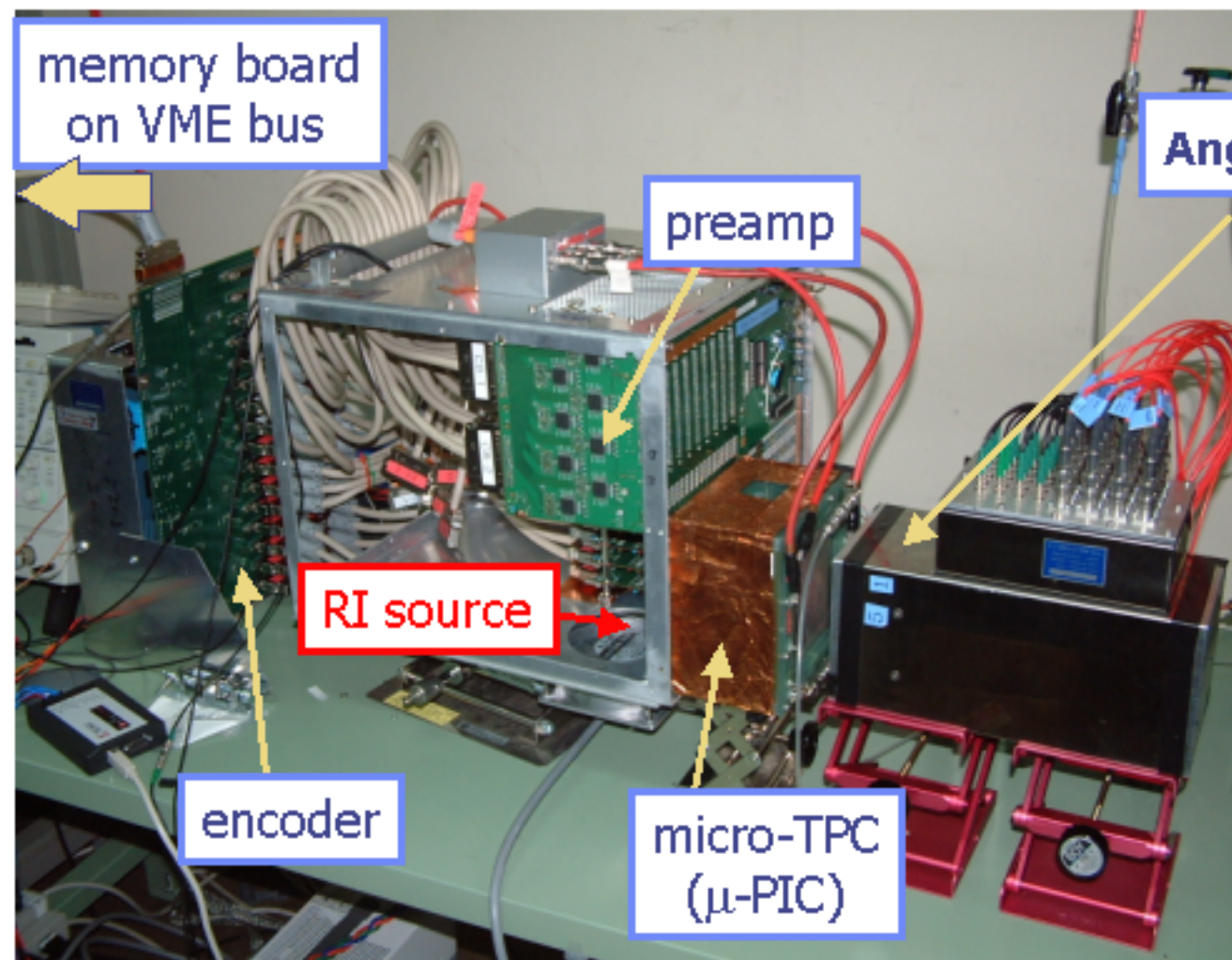
⇒ 3次元位置情報



Typical tracks
Ar 90% C₂H₆ 10%
gas gain ~5000
proton
E ~1MeV
electron
E ~500keV



Prototype Compton camera



Anger camera

micro TPC
 $10 \times 10 \times 8 \text{ cm}^3$
Ar + C₂H₆ (9:1)
NaI(Tl) Anger
4" × 4" × 1" 25 PMTs
position resolution
~4.5mm (RMS)
energy resolution
~9%
(662keV, FWHM)

No Veto or Shield !

Typical event

uPIC8/20031017/per1 Cs137
track 648-65

E_γ : 566.25 keV
 K_γ : 126.60 keV
 E_0 : 692.85 keV

α_{geo} = 91.18°
 α_{kin} = 88.14°
 ϕ = 33.37°
 ψ = 54.77°

$$L_s \leq 1.18 \times 10^{-3} K_s^{2.2} + 1$$

$$\alpha_{geo} \geq \alpha_{kin} - 5^\circ$$

$$X_{track} = 0.03$$

$$|\alpha_{geo} - \alpha_{kin}| = 3.04^\circ$$

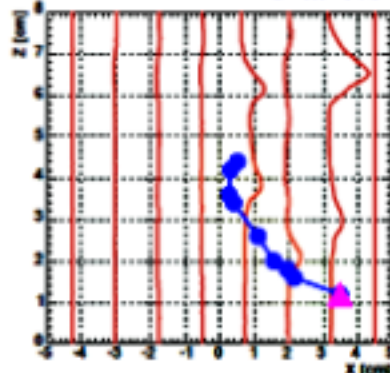
$$\theta = 13.09^\circ$$

$$\Delta\phi = -3.11^\circ$$

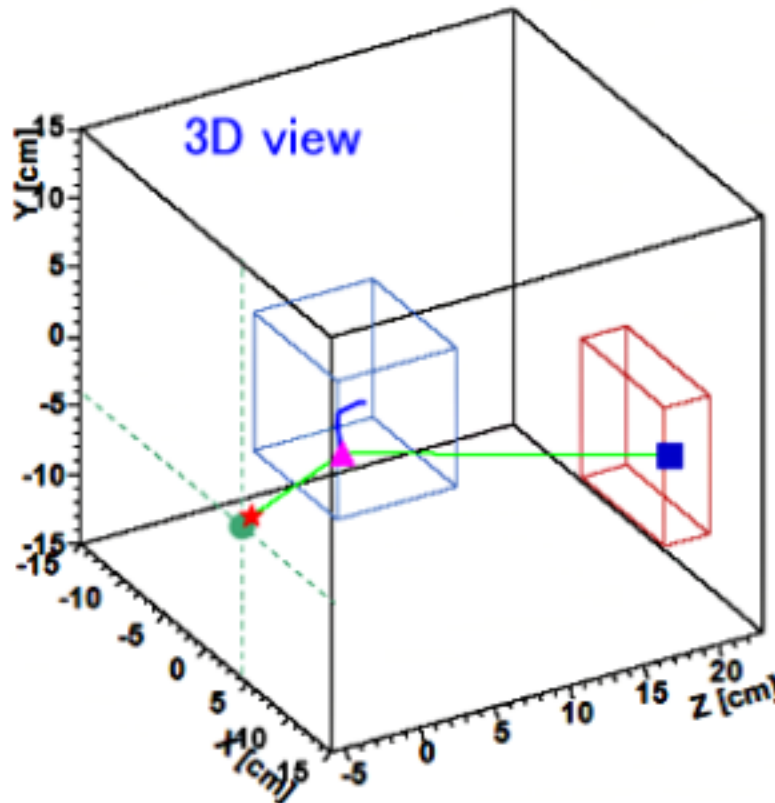
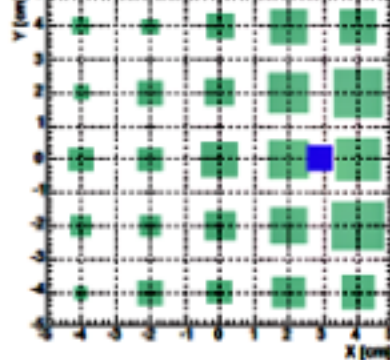
$$\Delta\delta = -21.81^\circ$$

- : source position
- ★ : reconstructed
- ▲ : Compton point
- : NaI hit

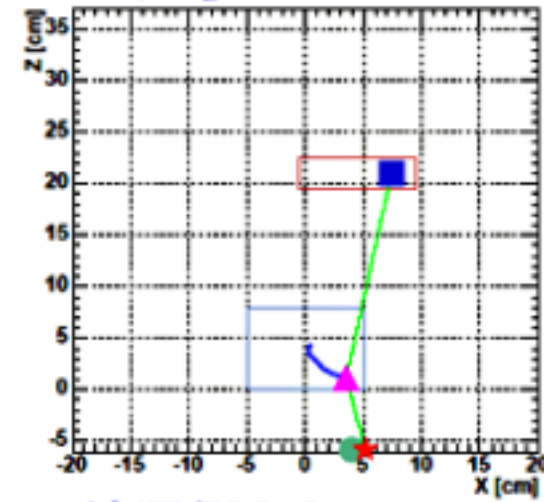
FADCによる波形



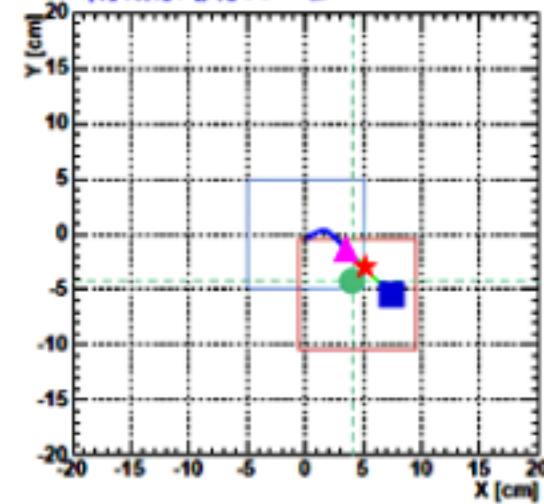
NaI(Tl)光量分布



上から



線源側から



Gamma-ray imaging

反跳電子の飛跡
散乱 γ 線の方向・エネルギー
入射 γ 線のエネルギー(既知)

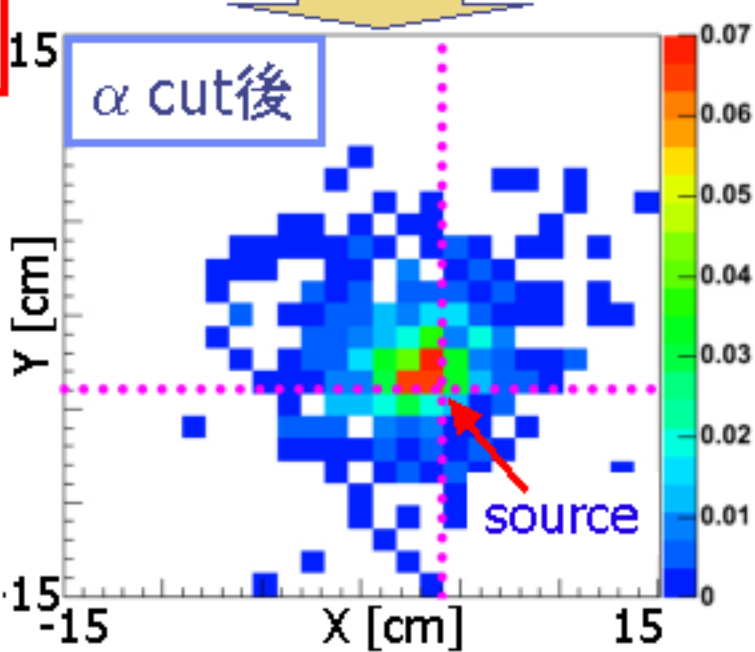
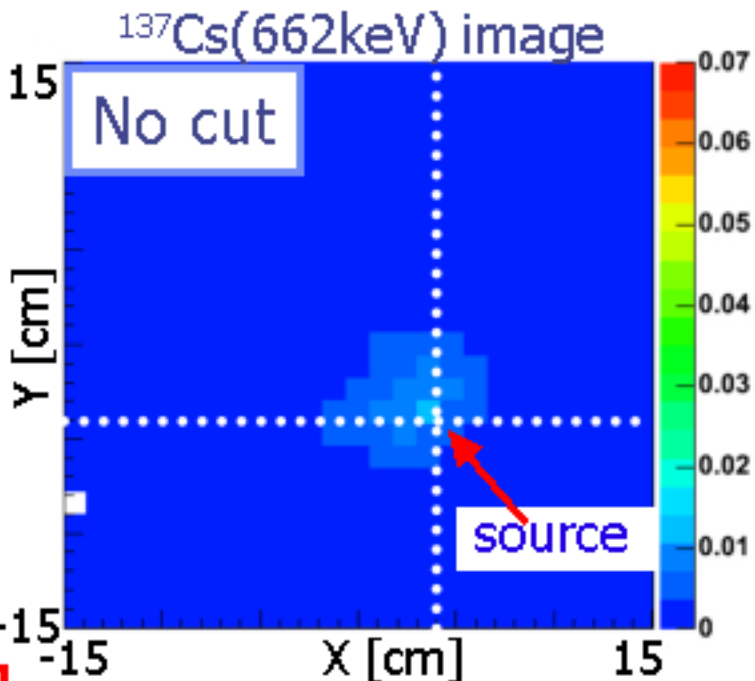
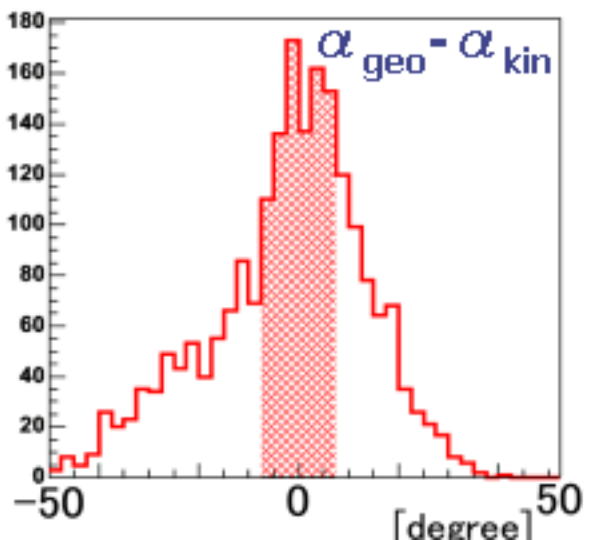
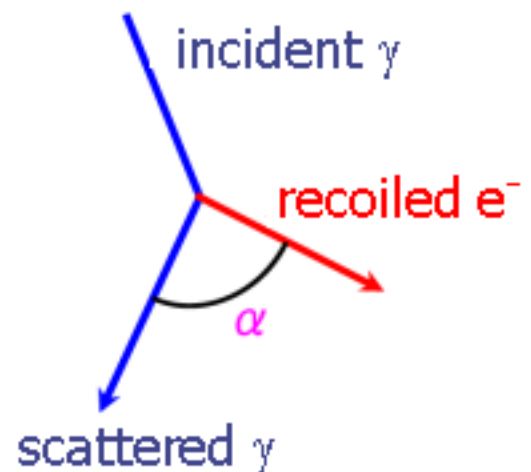


入射方向の再構成

◆ Background除去

α_{geo} : 幾何的な測定による α
 α_{kin} : 運動学的な計算による

} **α cut**
 $\alpha_{\text{geo}} \sim \alpha_{\text{kin}}$

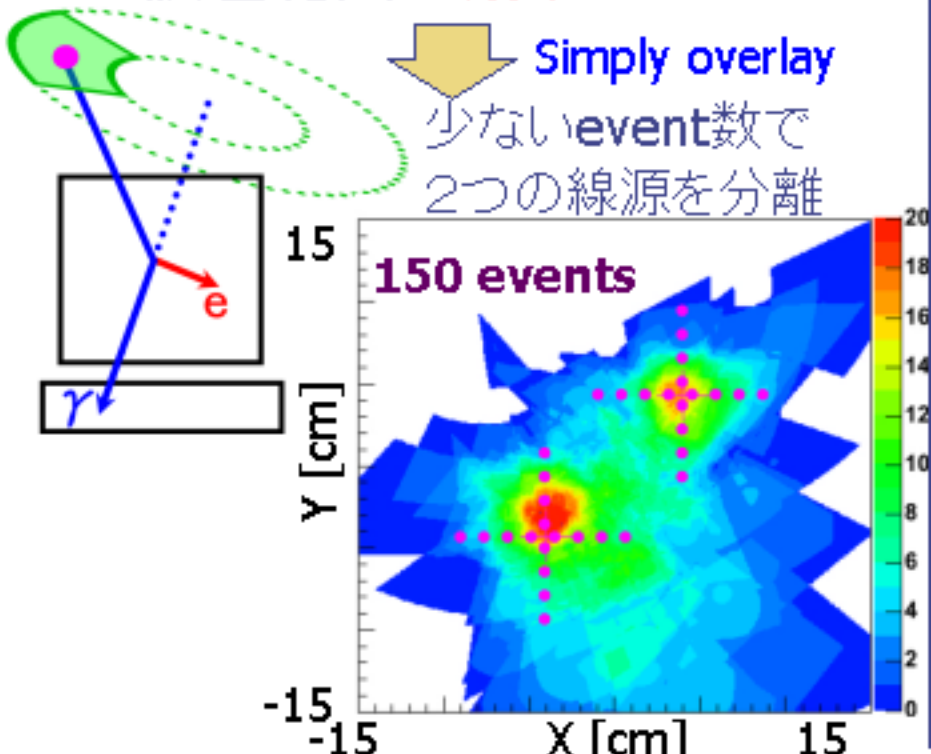


従来のコンプトン法との比較

Advanced Compton Meth.

電子の反跳方向を測定

- 到來方向を一意に決定
- 誤差範囲は扇形

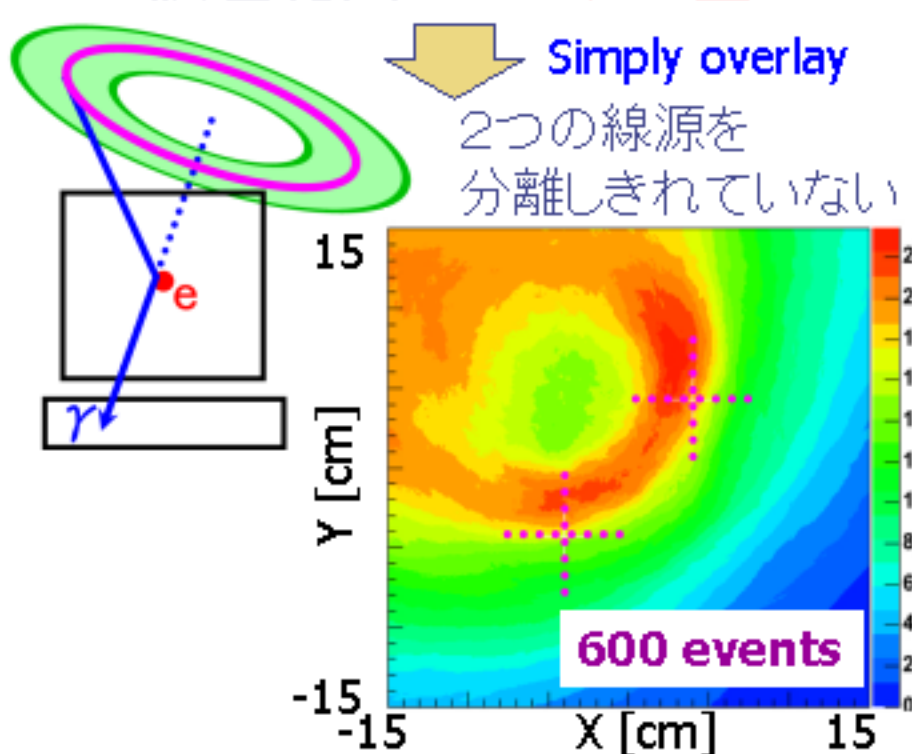


$^{137}\text{Cs}(1\text{MBq}) \times 2$, Advanced Compton

Classical Compton Meth.

電子の反跳方向を破棄

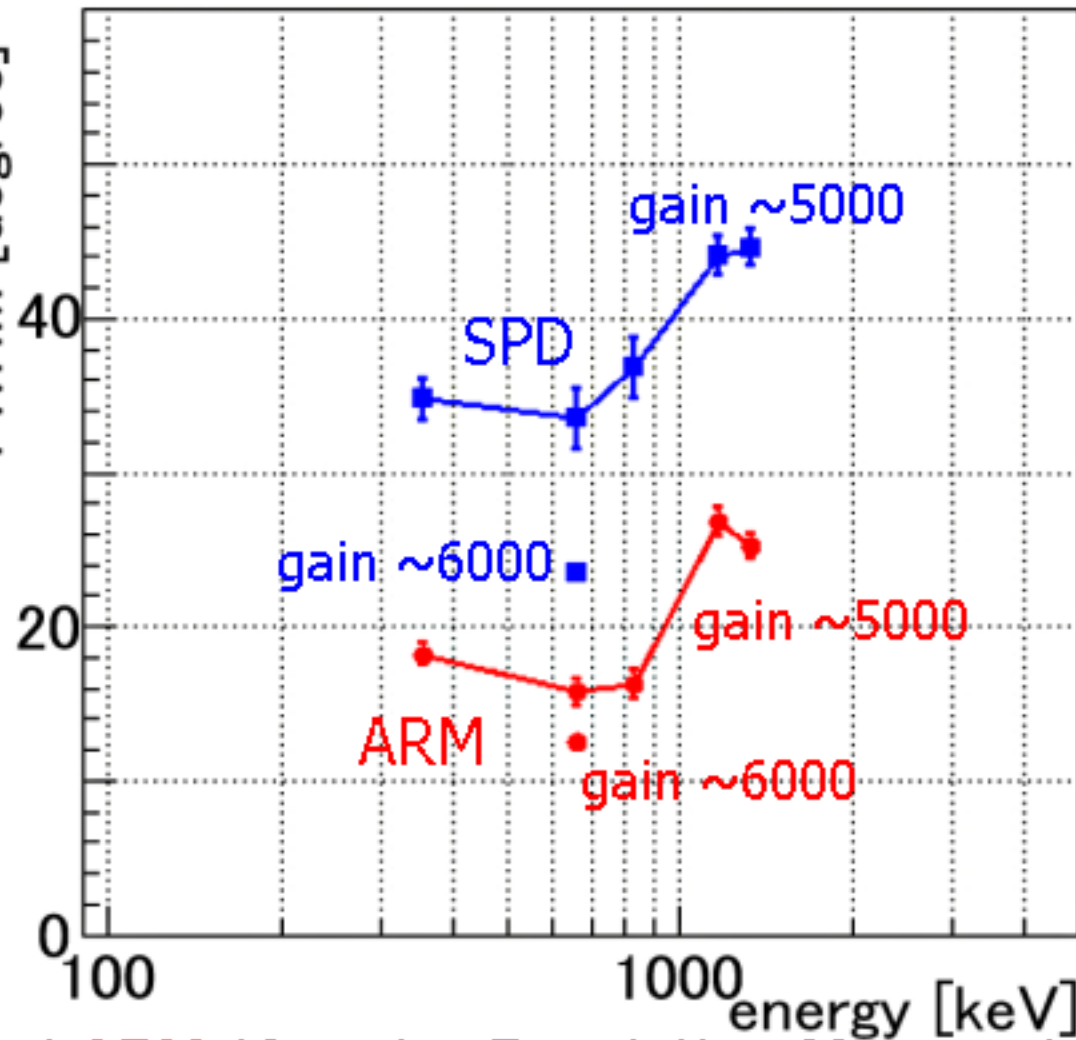
- 到來方向を円形に制限
- 誤差範囲はドーナツ型



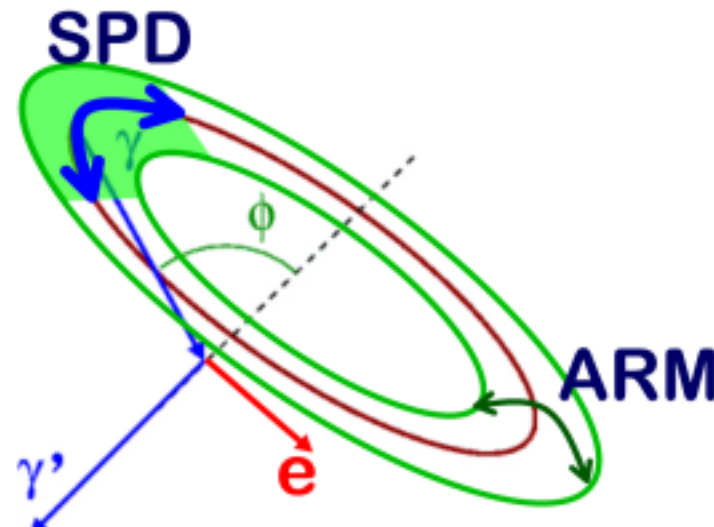
$^{137}\text{Cs}(1\text{MBq}) \times 2$, Classical Compton

角度分解能

FWHM [degree]



- ✓ ARM (Angular Resolution Measure)
- ✓ SPD (Scatter Plane Deviation)



MEGA

Si tracker + CsIシンチ

- ARM 13.4° (2MeV, FWHM)
- SPD 84° (1.8MeV, FWHM)

A.Zoglauer, et. al.

IEEE Trans. Nucl. Sci. in press

16° @ 662keV FWHM

34° @ 662keV FWHM

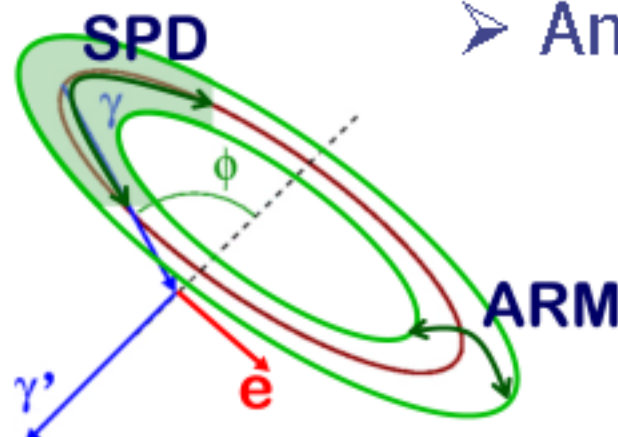
for each gamma-ray

Gamma-ray imaging for unknown energy sources

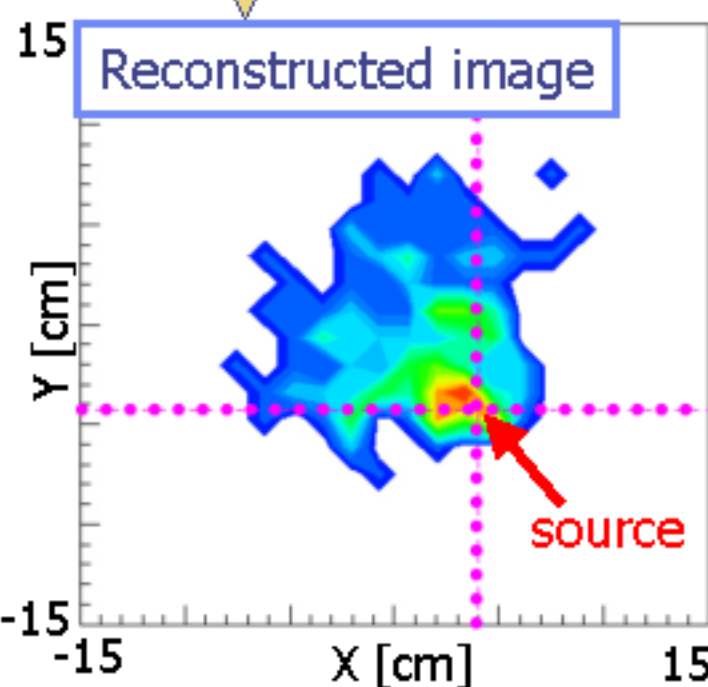
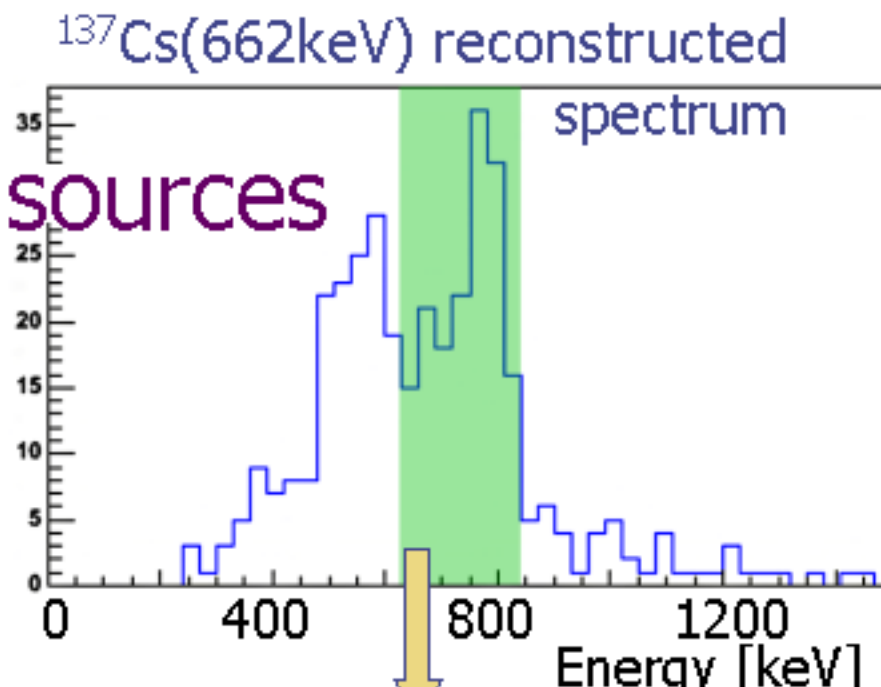
from
scattered γ 's **energy & direction**
recoiled e^- 's **energy & direction**



Full reconstruction of
incident γ

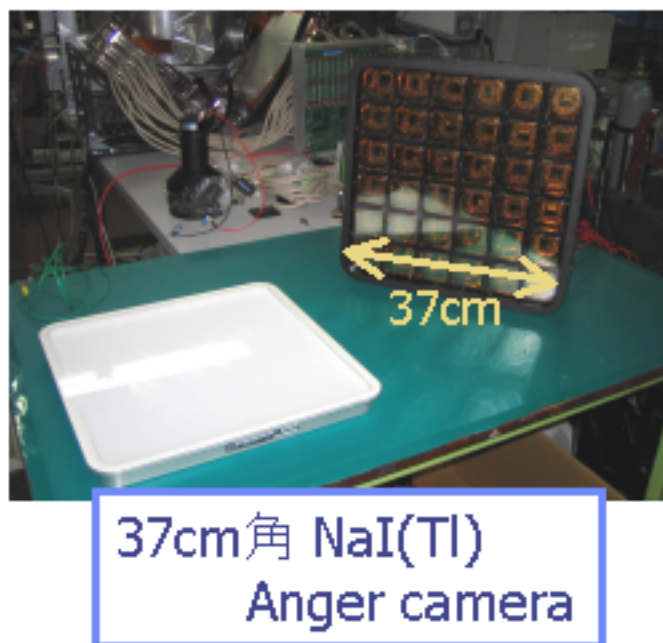
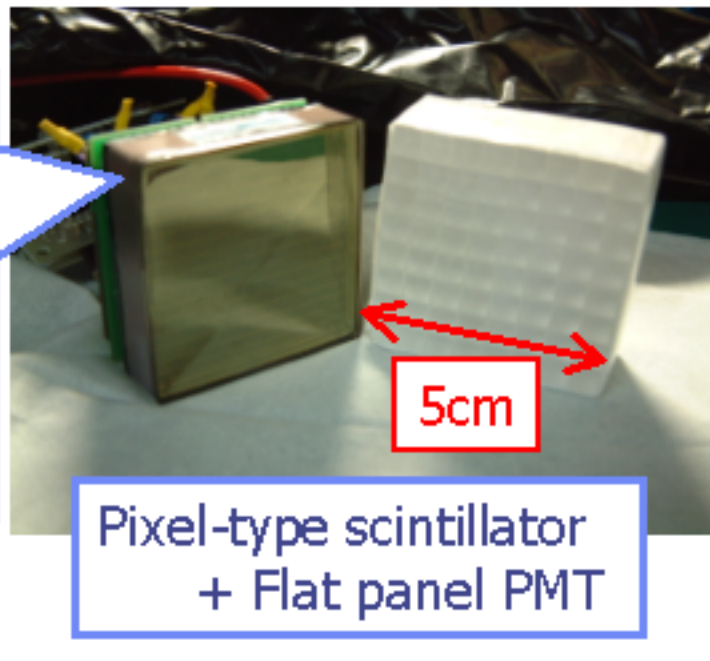
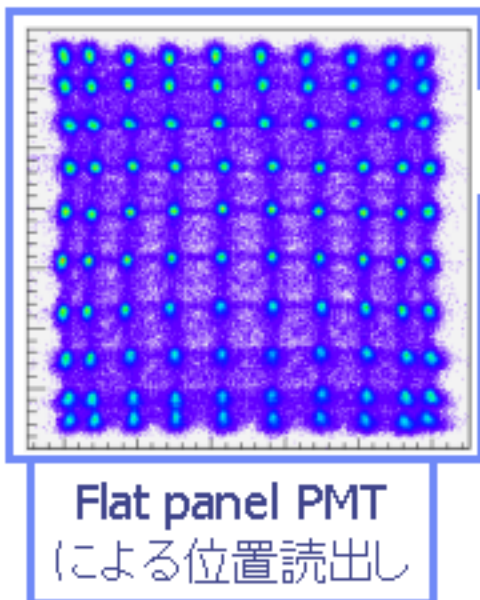
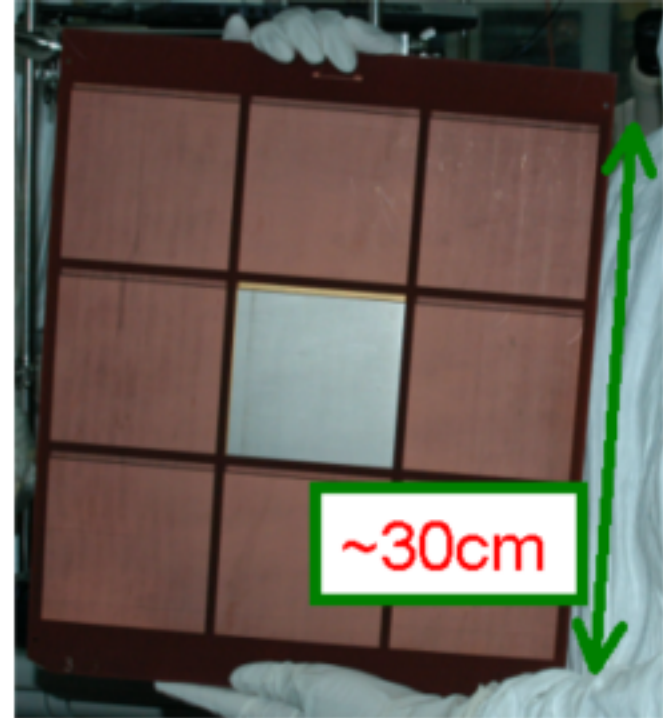


➤ Angular res. (RMS)
 $ARM \sim 15^\circ$
 $SPD \sim 35^\circ$



Prospects

- Scintillator
 - : ピクセル化(multi-anode PMT),
大面積化
⇒ 位置分解能・検出効率の向上
- micro-TPC : 10cm cube ⇒ 30cm cube
⇒ 反跳電子のエネルギーも捕らえる
検出効率の向上
- Gas study



Summary

- ✓ 光子毎の到来方向の再構成に成功
⇒ 検出原理が実証された
- ✓ 高いbackground除去能力
⇒ COMPTELよりも高いSN比が実現可
- ✓ Prototype performance (for 662keV)
 - ARM(FWHM) 16°
 - SPD(FWHM) 34°



Goal	500keV(FWHM)	ARM ~7°	SPD ~20°
	1MeV(FWHM)	ARM ~5°	SPD ~10°